

论 著

## MRI联合PET-CT诊断胶质瘤的价值分析

武汉市第六医院放射科 (湖北 武汉 430014)

曾 伟\*

**【摘要】目的** 探讨磁共振成像(MRI)联合正电子发射断层扫描-计算机断层扫描(PET-CT)诊断胶质瘤的临床应用价值。**方法** 选择医院2015年7月至2018年7月收治的疑为胶质瘤患者70例,所有患者均进行MRI和PET-CT检查,以病理学结果为“金标准”,对比MRI与MRI联合PET-CT诊断的敏感度、特异度、准确性及Kappa值,并采用ROC曲线分析两种检查在评估胶质瘤中的价值。**结果** MRI检查胶质瘤的敏感度为90.48%,特异度为71.43%,准确度为88.57%,Kappa值为0.494;MRI联合PET-CT检查胶质瘤的敏感度为98.41%,特异度为85.71%,准确度为97.14%,Kappa值为0.841。MRI联合PET-CT诊断与病理学结果的一致性明显高于MRI( $P<0.05$ )。ROC曲线分析显示,MRI联合PET-CT预测胶质瘤的敏感度高于MRI( $P<0.05$ )。**结论** MRI联合PET-CT可提高检测胶质瘤的敏感度、特异度及准确度,具有较高的预测价值。

【关键词】MRI; PET-CT; 胶质瘤

【中图分类号】R445.2; R445.3

【文献标识码】A

DOI:10.3969/j.issn.1672-5131.2021.03.011

## Value of MRI Combined with PET-CT in the Diagnosis of Glioma

ZENG Wei\*

Department of Radiology, Wuhan Sixth Hospital, Wuhan 430014, Hubei Province, China

## ABSTRACT

**Objective** To explore the clinical application value of magnetic resonance imaging (MRI) combined with positron emission tomography-computed tomography (PET-CT) in the diagnosis of glioma. **Methods** 70 cases of patients suspected as glioma admitted to the hospital from July 2015 to July 2018 were selected. All patients were given MRI and PET-CT. The pathological results were used as the gold standard, and the sensitivity, specificity, accuracy and Kappa value of MRI and MRI combined with PET-CT were compared, and ROC curve was used to analyze the value of the two examinations in the evaluation of glioma. **Results** The sensitivity, specificity, accuracy and Kappa value of MRI for glioma were 90.48%, 71.43%, 88.57% and 0.494. The sensitivity, specificity, accuracy and Kappa value of MRI combined with PET-CT for glioma were 98.41%, 85.71%, 97.14% and 0.841. The consistency of MRI combined with PET-CT with pathological results was significantly higher than that of MRI ( $P<0.05$ ). ROC curve analysis showed that the sensitivity of MRI combined with PET-CT for predicting glioma was higher than that of MRI ( $P<0.05$ ). **Conclusion** MRI combined with PET-CT can improve the sensitivity, specificity and accuracy in the detection of glioma, and it has a high predictive value.

**Keywords:** MRI; PET-CT; Glioma

胶质瘤的特征性表现为广泛的中性粒细胞与肿瘤细胞浸润,其发病率占颅内肿瘤的35%~60%<sup>[1-3]</sup>。目前CT和MRI是诊断胶质瘤最常用的检查方法。传统的CT和MRI等只能显示解剖学结构,无法反映肿瘤的细胞代谢水平,因此,CT和MRI诊断脑胶质瘤有一定局限性。PET-CT将PET和CT两种影像技术结合,既可对病灶定位,又可定性,弥补了常规CT和MRI检查的不足。随着PET-CT技术的发展,其用于诊断胶质瘤也越来越普遍。有研究表明,PET-CT结合MRI检查可为胶质瘤诊治提供更具敏感性的依据<sup>[4]</sup>。本研究以病理检查结果作为标准,通过分析MRI联合PET-CT诊断胶质瘤的价值,以期为临床诊断胶质瘤提供依据。

## 1 资料与方法

**1.1 一般资料** 选取医院2015年7月至2018年7月收治的疑为胶质瘤患者参加此次研究,共70例。胶质瘤的诊断标准参照2015年《中国中枢神经系统胶质瘤诊断与治疗指南》<sup>[5]</sup>。70例患者中男性36例,女性34例;年龄20~68岁,平均年龄(39.27±4.76)岁;体重48~69kg,平均体重(55.21±6.53)kg;其中肿瘤位于额叶32例,顶叶18例,岛叶11例,岛叶+额叶5例,额叶+颞叶4例。所有患者均进行病理组织检查。

**纳入标准:** 临床可疑胶质瘤患者均为初发者;入组前未接受治疗者;自愿配合检查者;两种检查时间间隔<1周;患者知情并签署知情同意书;病例资料完整者。  
**排除标准:** 伴有其他恶性肿瘤等病症者;无法配合完成检查者;对造影剂过敏者;处于妊娠或哺乳期的女性患者。

**1.2 方法** 所有患者均使用磁共振成像设备(购自北京欧贝尔科学仪器有限公司)进行MRI常规平扫及增强扫描,对比剂钆喷酸葡胺注射液(国药准字H10860001,北京北陆药业股份有限公司),剂量维持在0.2mL/kg,扫描参数:层厚5mm,层距2mm, T<sub>2</sub>WI(TR/TE=5000ms/100ms);矢状位和冠状位T<sub>1</sub>WI(TR/TE=5000ms/100ms)。PET-CT检查:所有患者取仰卧位,静脉注入<sup>18</sup>F-脱氧葡萄糖(<sup>18</sup>F-FDG)(国药准字H20051183,上海原子科兴药业有限公司),剂量为370~560MBq,40min后开始使用西门子Biograph64型PET-CT扫描仪扫描,

【第一作者】曾 伟,男,主治医师,主要研究方向:医学影像诊断与介入治疗。E-mail: 278201559@qq.com

【通讯作者】曾 伟

扫描时间为15min。PET扫描参数：层厚3.7mm，矩阵128×128；CT扫描参数：管电压130kV，管电流为120mA，层厚3.7mm，矩阵512×512。将PET及CT图像传输到工作站融合成像。

检查结束后所有图像由2位核医学医师共同阅片，采用感兴趣区域方法分析，结论一致则采纳，不一致则协商统一后得出最终结论。

**1.3 观察指标** (1)统计记录两种检查方式结果及病理确诊结果；(2)对比两种检查的敏感度、特异度及准确度；(3)ROC曲线分析两种检测在胶质瘤诊断中的价值。

**1.4 统计学方法** 采取统计学软件SPSS 17.0进行分析，计数资料用率表示并采用 $\chi^2$ 检验，使用Kappa值评估两种检查在诊断胶质瘤中与临床病理诊断结果的一致性，采用ROC曲线分析两种检测在胶质瘤诊断中的价值， $P < 0.05$ 表示差异有统计学意义。

## 2 结果

表2 两组检查诊断胶质瘤结果比较(%)

| 组别           | 敏感度   | 特异度   | 准确度   | 阳性预测值 | 阴性预测值 | Kappa值 |
|--------------|-------|-------|-------|-------|-------|--------|
| MRI组         | 90.48 | 71.43 | 88.57 | 96.61 | 45.45 | 0.494  |
| MRI联合PET-CT组 | 98.41 | 85.71 | 97.14 | 98.41 | 85.71 | 0.841  |
| $\chi^2$     | 3.782 | 0.424 | 3.877 | 0.413 | 2.918 |        |
| P            | 0.052 | 0.515 | 0.049 | 0.521 | 0.088 |        |

**2.2 两组在诊断颅内动脉瘤中的ROC曲线分析** ROC曲线分析结果显示(图1)，MRI组曲线下面积(AUC)为0.625，敏感性68.31%，特异性50.42%；MRI联合PET-CT组的AUC为0.734，敏感性93.51%，特异性52.86%。MRI联合PET-CT预测颅内动脉瘤的敏感度明显高于MRI( $P < 0.05$ )。

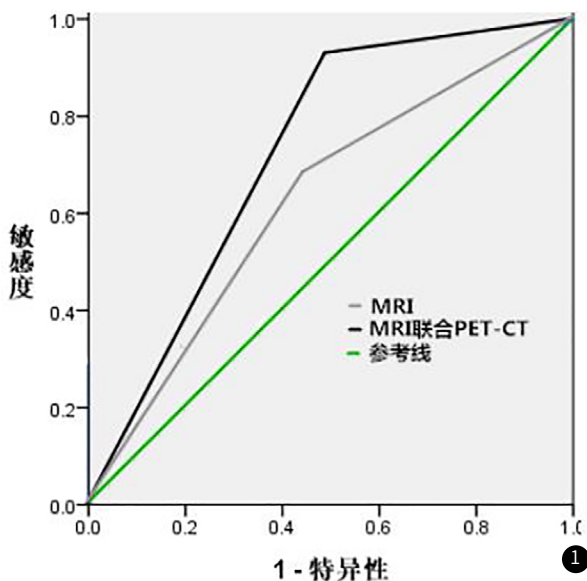


图1 两种检查预测胶质瘤的ROC曲线分析比较

**2.3 典型病例影像分析** 典型病例影像分析结果见图2和图3，其中，图2为临床病理确诊为胶质瘤患者，男，21岁；图3为

**2.1 两组检查诊断胶质瘤结果比较** 两组检查诊断胶质瘤结果与临床病理学诊断结果见表1。MRI检查胶质瘤的敏感度为90.48%，特异度为71.43%，准确度为88.57%，Kappa值为0.494；MRI联合PET-CT检查胶质瘤的敏感度为98.41%，特异度为85.71%，准确度为97.14%，Kappa值为0.841。MRI联合PET-CT诊断胶质瘤与临床病理学诊断结果的一致性高于MRI检查( $P < 0.05$ )，见表2。

表1 两组检查诊断胶质瘤结果与临床病理学诊断结果统计

| 组别           | 结果 | 临床病理学诊断 |    | 合计 |
|--------------|----|---------|----|----|
|              |    | 阳性      | 阴性 |    |
| MRI组         | 阳性 | 57      | 2  | 59 |
|              | 阴性 | 6       | 5  | 11 |
|              | 合计 | 63      | 7  | 70 |
| MRI联合PET-CT组 | 阳性 | 62      | 1  | 63 |
|              | 阴性 | 1       | 6  | 7  |
|              | 合计 | 63      | 7  | 70 |

临床病理确诊为星形细胞瘤患者，男，30岁。

## 3 讨论

目前肿瘤研究已发展到活体病理和生化改变的分子影像阶段，而常规MRI检查主要依据增强后病灶的强化程度来判断病变性质，不代表肿瘤侵袭范围，并存在着图像失真等问题，临床确诊常需要穿刺活检，用于诊断胶质瘤有较高的误诊率。大量研究表明，MRI单纯依赖形态学改变难以准确辨别肿瘤组织的变化<sup>[6-8]</sup>。PET-CT是一种全新的影像学检查手段，可通过融合PET的功能显象和CT的结构显象来提高诊断准确性。有研究表明，对于疑为胶质瘤的患者采用以肿瘤代谢为成像基础的PET-CT检查可提高准确度<sup>[9-11]</sup>。

本研究结果表明，MRI联合PET-CT检查胶质瘤的敏感度为98.41%，特异度为85.71%，准确度为97.14%，Kappa值为0.841，提示MRI联合PET-CT检查诊断胶质瘤与病理结果保持较高的一致性。PET-CT检查使用的<sup>18</sup>F-FDG显像剂是一种葡萄糖类似物，通过葡萄糖转运蛋白转运至细胞内，具有和葡萄糖类似的细胞内代谢，如可在己糖激酶的作用下磷酸化生成磷酸盐，从而反映出细胞的葡萄糖代谢状况，多数恶性肿瘤细胞葡萄糖消耗会大量增加，肿瘤细胞对<sup>18</sup>F-FDG的摄取会随之大大增加，因此，PET可从分子水平判断活体生理及代谢等变化。有研究表明，<sup>18</sup>F-FDG的摄取程度与脑胶质瘤的病理分级密切相关<sup>[9, 12-13]</sup>。而同时CT所成图像又可为PET提供高质量的解剖结构图像，从而提高诊断的敏感度及特异度。大量研究结果表

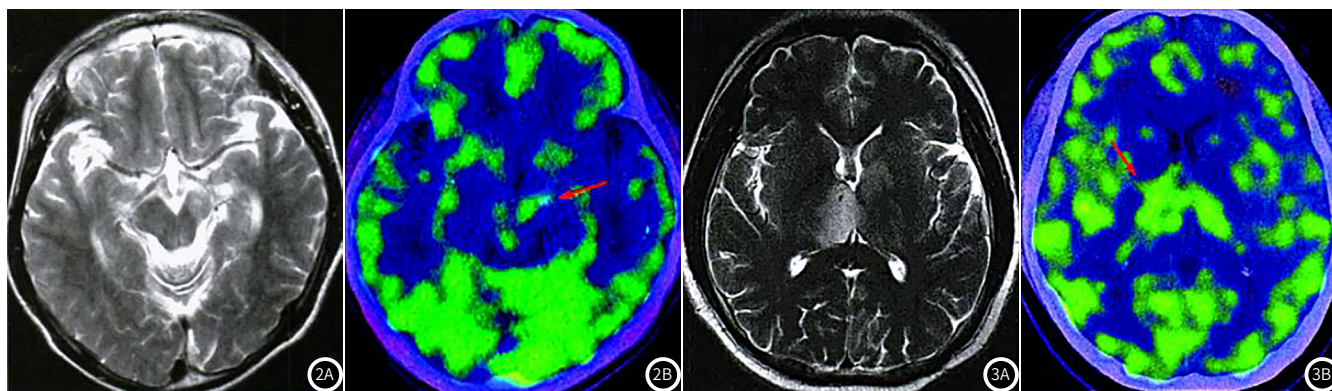


图2 胶质瘤患者影像图。图2A MRI显示T<sub>2</sub>WI呈稍高信号；图2B PET-CT显像呈阳性；图3 星形细胞瘤患者影像图。图3A MRI显示T<sub>2</sub>WI呈稍高信号；图3B为PET-CT显像呈阳性。

明，PET-CT检查通过提供准确可靠的图像从而准确定位定性病灶<sup>[14-15]</sup>。此外，本研究中ROC曲线分析显示，MRI联合PET-CT检查预测胶质瘤的敏感度较高，说明MRI联合PET-CT检查可敏感预测胶质瘤。这与杨亦寒等<sup>[16]</sup>的研究结果类似，采用MRI联合PET-CT检查胶质瘤具有较高的预测价值。

综上所述，MRI联合PET-CT诊断胶质瘤其敏感度、特异度及准确度较高，具有非常重要的临床应用价值。

## 参考文献

- [1] Kim E H, Mi J Y, Kim S U, et al. Arsenic trioxide sensitizes human glioma cells, but not normal astrocytes, to TRAIL-induced apoptosis via CCAAT/Enhancer-binding protein homologous protein-dependent DR5 up-regulation[J]. *Cancer Res*, 2016, 68(1): 266-275.
- [2] 杨文涛, 于喜贞, 李正友, 等. 胶质瘤综合治疗方法研究进展[J]. *新乡医学院学报*, 2016, 33(1): 70-72, 77.
- [3] Wang Q H, Hu B L, Hu X, et al. Tumor evolution of glioma-intrinsic gene expression subtypes associates with immunological changes in the microenvironment[J]. *Cancer Cell*, 2017, 32(1): 42-56. e6.
- [4] Jung T Y, Min J J, Bom H S, et al. Prognostic value of post-treatment metabolic tumor volume from 11C-methionine PET/CT in recurrent malignant glioma[J]. *Neurosurg Rev*, 2017, 40(2): 223-229.
- [5] 周良辅, 毛颖, 王任直. 中国中枢神经系统胶质瘤诊断与治疗指南(2015)[J]. *中华医学杂志*, 2016, 96(7): 485-509.
- [6] 刘遂平, 曹丽霞, 腾海英, 等. 脑胶质瘤的MRI诊断与鉴别诊断[J]. *中国CT和MRI杂志*, 2015, 13(1): 21-24.
- [7] Jung B C, Arevalo - Perez J, Lyo J K, et al. Comparison of Glioblastomas and Brain Metastases using Dynamic Contrast - Enhanced Perfusion MRI[J]. *J NeuroL Imaging*, 2016, 26(2): 240-246.
- [8] 王涛. MRI增强扫描在评估颅脑胶质瘤手术患者预后的临床价值[J]. *中国CT和MRI杂志*, 2016, 14(2): 18-20, 26.
- [9] 王治国, 左峰, 张国旭, 等. 11C-蛋氨酸及11C-胆碱联合<sup>18</sup>F-氟代脱氧葡萄糖在胶质瘤诊断中的价值[J]. *中国医学装备*, 2016, 13(6): 60-63.
- [10] Zhao F, Li M, Wang Z, et al. <sup>18</sup>F-Fluorothymidine PET-CT for resected malignant gliomas before radiotherapy: tumor extent according to proliferative activity compared with MRI[J]. *PLoS One*, 2015, 10(3): e0118769.
- [11] 黄勇, 杨斌斌, 郭坤, 等. <sup>18</sup>F-FDG PET/CT显像对颅内占位性病变的诊断价值[J]. *现代肿瘤医学*, 2017, 25(18): 2977-2981.
- [12] 何巧, 史新冲, 张林启, 等. <sup>13</sup>N-NH<sub>3</sub>与<sup>18</sup>F-FDG PET/CT在脑胶质瘤分级评估中的对比研究[J]. *中华核医学与分子影像杂志*, 2015, 35(5): 374-378.
- [13] 王欣璐, 韩立新, 尹吉林, 等. <sup>11</sup>C-蛋氨酸与<sup>18</sup>F-脱氧葡萄糖在脑良性病变及低级别胶质瘤诊断中的比较[J]. *暨南大学学报: 自然科学与医学版*, 2015, 36(3): 261-265.
- [14] Arora G, Sharma P, Sharma A, et al. <sup>99</sup>Tc<sup>m</sup>Methionine Hybrid SPECT/CT for detection of recurrent glioma: Comparison with <sup>18</sup>F-FDG PET/CT and contrast-enhanced MRI[J]. *Clin Nucl Med*, 2018, 43(5): e132-e138.
- [15] 刘道佳, 唐明灯, 林端瑜, 等. <sup>18</sup>F-FDG与<sup>18</sup>F-FLT PET/CT诊断脑胶质瘤综合治疗后复发的对比研究[J]. *中华核医学与分子影像杂志*, 2017, 37(4): 198-201.
- [16] 杨亦寒, 蔡莉, 马海文, 等. MRI联合<sup>18</sup>F-FDG PET和<sup>11</sup>C-MET PET对颅内肿胀性脱髓鞘病变与胶质瘤的鉴别诊断作用[J]. *中国现代神经疾病杂志*, 2017, 17(10): 754-761.

(收稿日期: 2019-11-25)